Session 2001

**ATPHY** 

## BREVET DE TECHNICIEN SUPERIEUR

# ASSISTANCE TECHNIQUE D'INGENIEUR

Epreuve de PHYSIQUE et PHYSIQUE APPLIQUEE

Coefficient: 2

Durée: 2H

Tout document est interdit Calculatrice autorisée (circulaire n° 99-018 du 1<sup>er</sup> février 1999)

Ce sujet comporte 7 pages

#### MODULE D'EMISSION MIS EN ŒUVRE DANS UNE BORNE DE RECONNAISSANCE DE BADGES ELECTRONIQUES

Les bornes de reconnaissance de badges électroniques sont placées, par exemple, aux points d'accès de locaux sécurisés. Les personnes, munies du badge convenable, peuvent franchir les limites de ces locaux et leur présence est enregistrée.

La borne est à la fois émettrice et réceptrice. On propose d'étudier le principe de la fonction émettrice.

Il s'agit d'élaborer un signal sinusoïdal, de fréquence  $f_0 \sim 100 \, \mathrm{kHz}$ , en vue d'alimenter une antenne constituée par un cadre sur lequel sont bobinées quelques spires de fil de cuivre (figure 1-a). Le modèle de l'antenne est formé d'une inductance L, sa résistance est nulle. Cette antenne est soumise au signal  $v_a$  représenté figure 1-b. L'émission n'est pas permanente mais rythmée par un code, ou clé, propre à chaque borne.

Le schéma global est donné figure 2.

Les circuits logiques tels que bascule de Schmitt, porte ET-NON, sont en technologie CMOS, et sont alimentés entre 0V et  $V_{DD} = 12 V$ .

Le sujet comporte quatre parties indépendantes.

<u>Les figures à compléter</u>, à savoir : 4-b / 6 / 7- c , d / 9- b , c , d / 11 <u>sont regroupées</u> sur les documents réponses N°1 et N°2 à rendre avec la copie.

#### PREMIERE PARTIE (4 points): L'OSCILLATEUR (figure 3-a)

La caractéristique de transfert de la bascule de Schmitt est tracée figure 3-b.

- 1-1 Relever les valeurs des seuils de basculement haut  $V_H$  et bas  $V_B$ .
- 1-2 L'allure du signal v<sub>C</sub>, aux bornes du condensateur, est donnée figure 4-a, sur le document réponse N°1.
  - 1-2-1 Tracer le chronogramme du signal  $v_T$ , en corrélation avec  $v_C$ , sur figure 4-b.
  - 1-2-2 Etablir l'équation différentielle relative au signal  $v_c$ , de variable t, valable sur l'intervalle  $\Delta t_1$ .
  - **1-2-3** Calculer la valeur numérique de la constante de temps.
  - 1-2-4 Les expressions littérales des intervalles de temps  $\Delta t_1$  et  $\Delta t_2$  sont :

$$\Delta t_1 = R \operatorname{Cln} \frac{V_{DD} - V_B}{V_{DD} - V_H}$$

$$\Delta t_2 = R \operatorname{Cln} \frac{V_H}{V_B}$$

Calculer les valeurs numériques de  $\Delta t_1$  et  $\Delta t_2$ . En déduire la période  $T_0$  de  $v_C$ .

#### DEUXIEME PARTIE (4 points) : LE CODAGE (figure 5)

Le niveau logique "0" correspond à une tension inférieure à  $\frac{V_{DD}}{2}$ , le niveau logique "1" à une

tension supérieure à 
$$\frac{V_{\text{DD}}}{2}$$
 .

La table de vérité, établie pour la première porte ET-NON, est donnée figure 6. Le signal codant  $v_d$  est issu d'une fonction qui n'est pas étudiée. Les signaux  $v_T$  et  $v_d$  sont représentés figures 7-a et 7-b.

- 2-1 Compléter la table de vérité, figure 6, en y reportant les états de  $v_{d2}$ .
- 2-2 Tracer les chronogrammes de  $v_{d1}$  et  $v_{d2}$  figures 7-c et 7-d.
- 2-3 Au vu des chronogrammes précédents, dans le cas où  $v_d$  est maintenu à "1", exprimer  $v_d$  en fonction de  $v_T$ .
- **2-4** Si  $v_d$  est maintenu à "0", qu'en est-il de  $v_{d2}$ ?
- **2-5** Quelle est l'équation logique liant  $v_{d1}$  à  $v_{d2}$ ?

#### TROISIEME PARTIE (4 points) : L'INTERFACE DE PUISSANCE (figure 8)

Dans le but de fournir suffisamment de puissance à l'antenne, les signaux  $v_{d1}$  et  $v_{d2}$  vont être utilisés pour commander un montage en « pont ». Les quatre transistors  $T_1$  à  $T_4$  sont en fait assimilés à des interrupteurs.

Les transistors T<sub>2</sub> et T<sub>4</sub>, de type PNP, fonctionnent en commutation.

A l'état saturé : 
$$v_{E_2C_2sat} = 0 \text{ V}$$
 ;  $v_{E_4C_4sat} = 0 \text{ V}$ .

Les transistors MOS  $T_1$  et  $T_3$  peuvent être modélisés, entre drain et source, par un interrupteur ouvert ou fermé selon la valeur de la **tension** de commande  $v_{cs}$ :

$$V_{GS} = 0$$
 interrupteur ouvert

$$V_{GS} = 12 \text{ V}$$
 interrupteur fermé

Le fonctionnement du «pont» peut donc se résumer en deux séquences :

- $V_{G_1S_1} = 12 V$ ,  $T_2$  est saturé et  $T_4$  est bloqué.
- $V_{G_1S_1} = 12 \text{ V}$ ,  $T_4$  est saturé et  $T_2$  est bloqué.
- 3-1 Représenter par des traits en gras les positions des interrupteurs pour chacune des deux séquences proposées par les figures 9-b et 9-c en déduction des chronogrammes de  $v_{d1}$  et  $v_{d2}$  représentés figure 9-a, sur le document réponse N°2. Justifier rapidement.
- 3-2. Compléter le chronogramme, figure 9-d, de la tension v obtenue entre les points A et B.

#### **QUATRIEME PARTIE (8 points)**: LE FILTRAGE (figure 10)

La tension  $v_a$ , appliquée à l'antenne, ne doit comporter qu'une composante sinusoïdale de fréquence  $f_0 \approx 100 \, \text{kHz}$ . En fait le signal carré v, entre les points A et B, dans le cas d'une émission permanente, peut se décomposer en série de Fourier :

$$v = \frac{4E}{\pi} \sin(\omega_0 t) + \frac{4E}{3\pi} \sin(3\omega_0 t) + \frac{4E}{5\pi} \sin(5\omega_0 t) + \dots \quad \text{où } \omega_0 = 2\pi f_0$$

Une étude préliminaire, en régime sinusoïdal, permet de déterminer le type de filtre proposé.

Dans cette étude, le nombre complexe  $\underline{V} = \begin{bmatrix} \hat{V} \\ \sqrt{2} \end{bmatrix}$ ;  $\theta$  est associé à la fonction sinusoïdale :

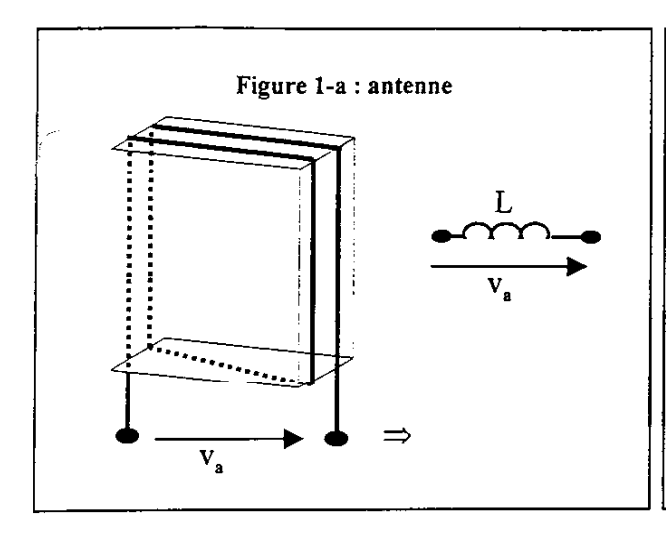
 $v = \hat{V}\sin(\omega t + \theta)$  ;  $\omega = 2\pi f$ .

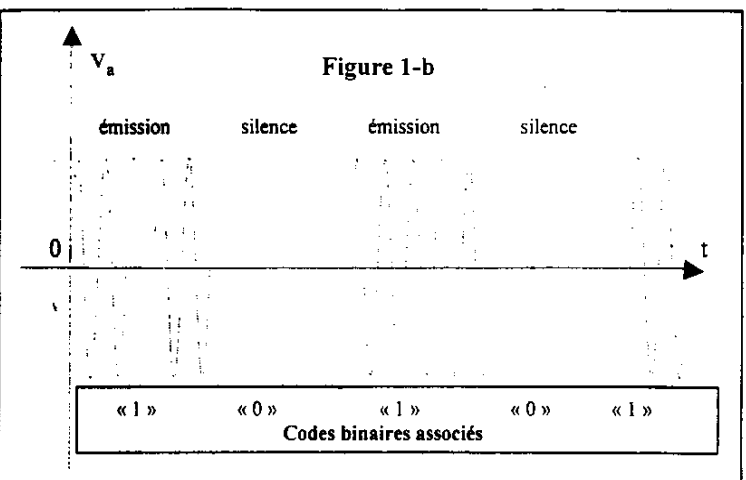
- 4-1 Etablir, en détaillant toutes les étapes de calcul, la fonction de transfert complexe  $\underline{T} = \frac{V_a}{\underline{V}}$  qui sera mise sous la forme :  $\underline{T} = \frac{1}{1 + jR_{\alpha}(C\omega \frac{1}{L_{\alpha}})}$
- 4-2 Pour la suite on admettra la relation suivante :  $\underline{T} = \frac{1}{1 + jQ_0(\frac{\omega}{\omega_0} \frac{\omega_0}{\omega})}$  avec :

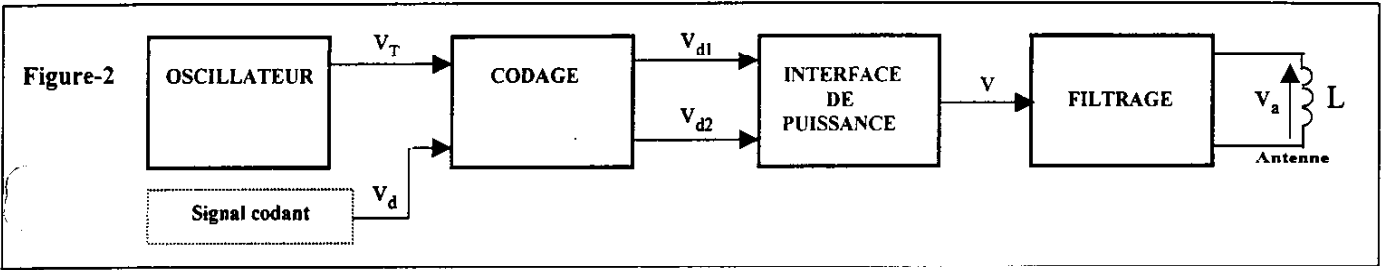
$$\omega_{\text{o}} = 2\pi f_{\text{o}} \; ; \quad LC\omega_{\text{o}}^{\; 2} = 1 \quad \text{et} \quad Q_{\text{o}} \; \text{constante définie par} \; ; \quad Q_{\text{o}} = \frac{R_{\text{a}}}{L\omega_{\text{o}}} \; \text{ou} \quad Q_{\text{o}} = R_{\text{a}}C\omega_{\text{o}} \, .$$

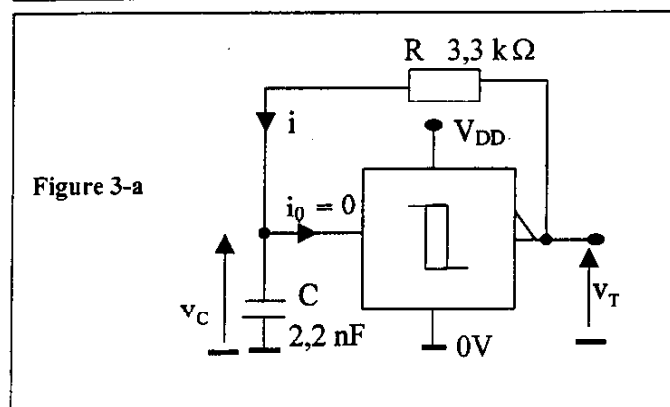
- 4-2-1 Exprimer  $f_0$  en fonction de L et C. Calculer  $\underline{T}$  pour  $f = f_0$ . A ce stade de l'étude, que peut-on dire à propos de la réponse du filtre pour le terme fondamental de la série de Fourier de v?
- **4-2-2** Etablir l'expression générale du module T de  $\underline{T}$ . Pour quelle fréquence ce module est-il maximal ; quelle est sa valeur , notée  $T_{\text{MAX}}$ ?
- **4-2-3** Vers quelles valeurs limites tend T lorsque  $f \to 0$ ;  $f \to \infty$ ?
- 4-2-4  $R_a=150\,\Omega$  ;  $L=15.8\,\mu H$  ;  $C=160\,nF$  . Calculer les valeurs numériques de :  $f_0$  ,  $Q_0$  , ainsi que celles des fréquences de coupure  $f_{CH}\approx f_0 \bigg(1+\frac{1}{2Q_0}\bigg)$  et  $f_{CB}\approx f_0 \bigg(1-\frac{1}{2Q_0}\bigg)$ .
- **4-2-5** De quel type de filtre s'agit-il ? Calculer sa bande passante.
- **4-2-6** Expliquer l'action du filtre sur les différentes composantes de la série de Fourier du signal carré v.

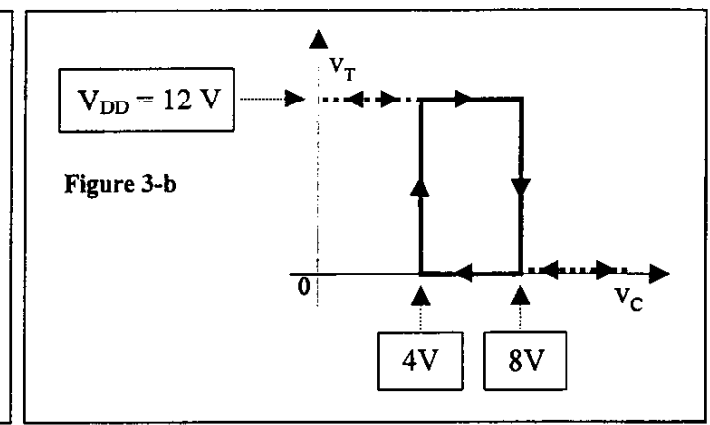
Quelles sont les caractéristiques du signal  $v_a$  finalement obtenu aux bornes de l'antenne. Tracer ce signal  $v_a$  sur la figure 11.











#### Figures 4-a et 4-b voir document réponse

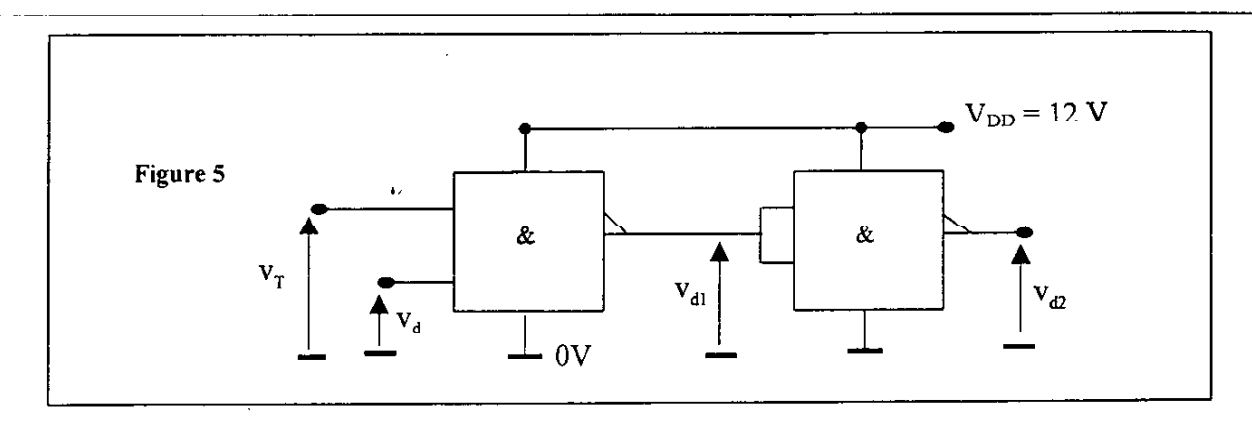
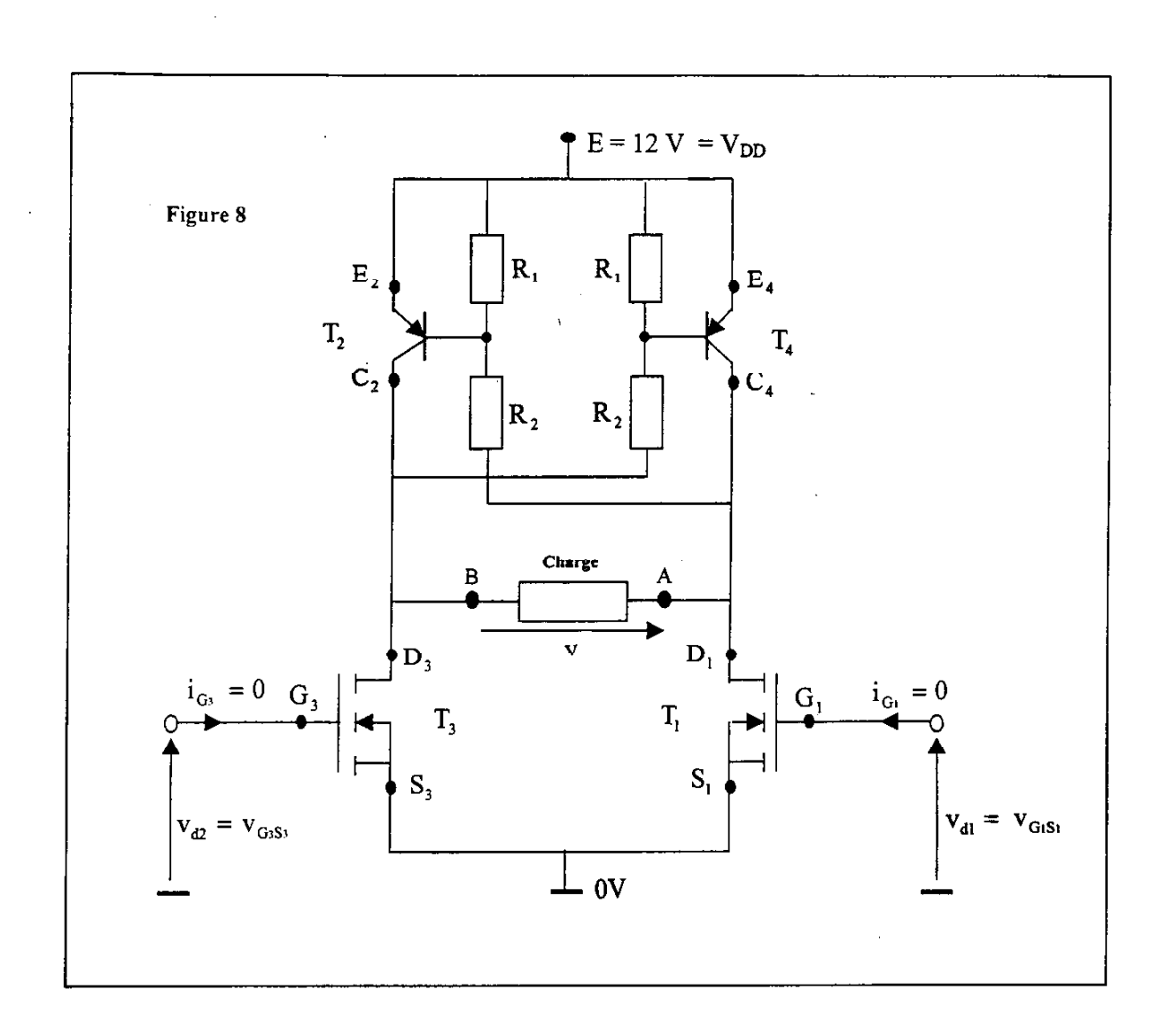
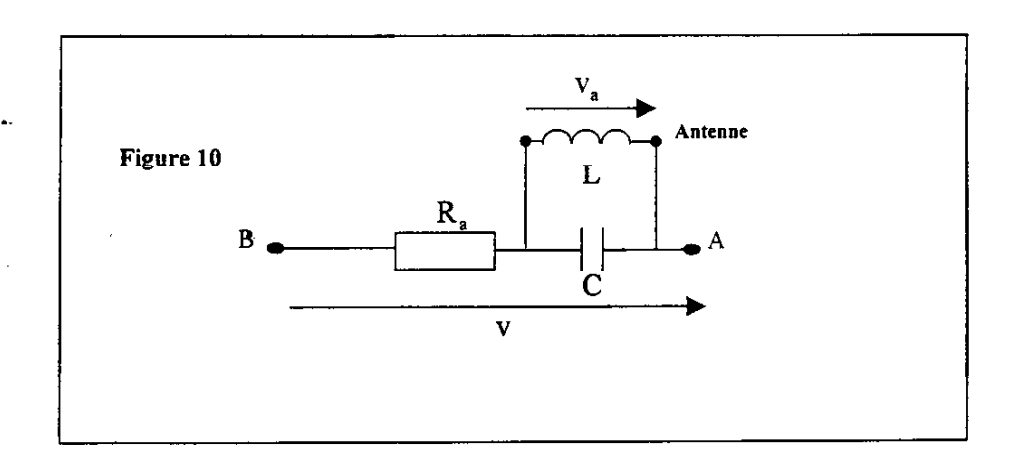


Figure 6 voir document réponse N°1

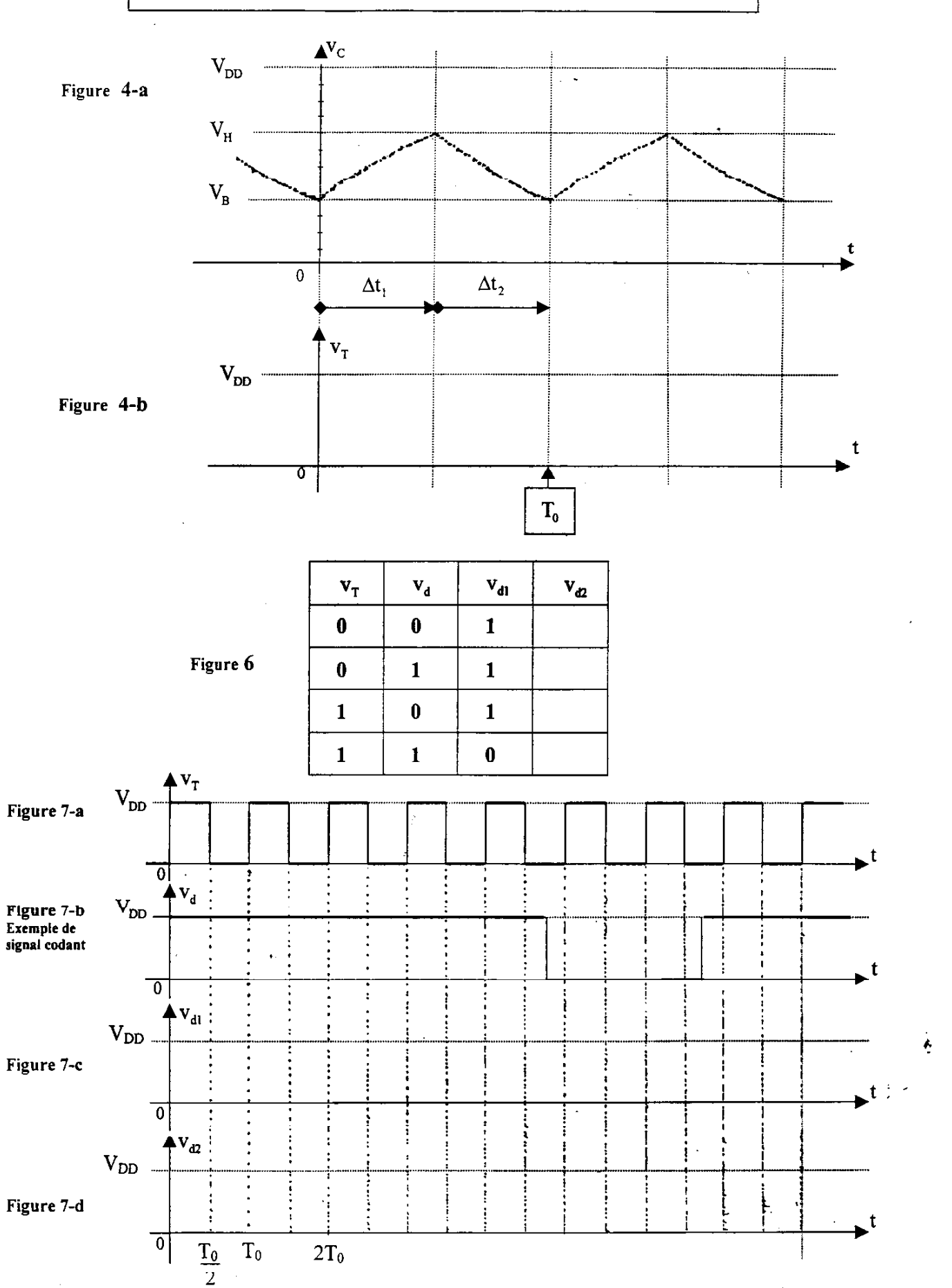
Figures 7-a, b, c, d voir document réponse N°1



Figures 9-a, b, c, d voir document réponse N°2



### DOCUMENT REPONSE N°1 A RENDRE AVEC LA COPIE



Académie : Session : Session : Série \* :

Spécialité / option : Repieuve : Repreuve : Reformence : Serie \* :

NOM : Reformus : Repreuve : Repre

 $T_0 \\$ 

 $2T_0$ 

0

